2007/5/28-30 宇宙初期における時空と物質の進化

ダークマター分布の非線形重力進 化の新しい様相

樽家 篤史 (東大理)

内容

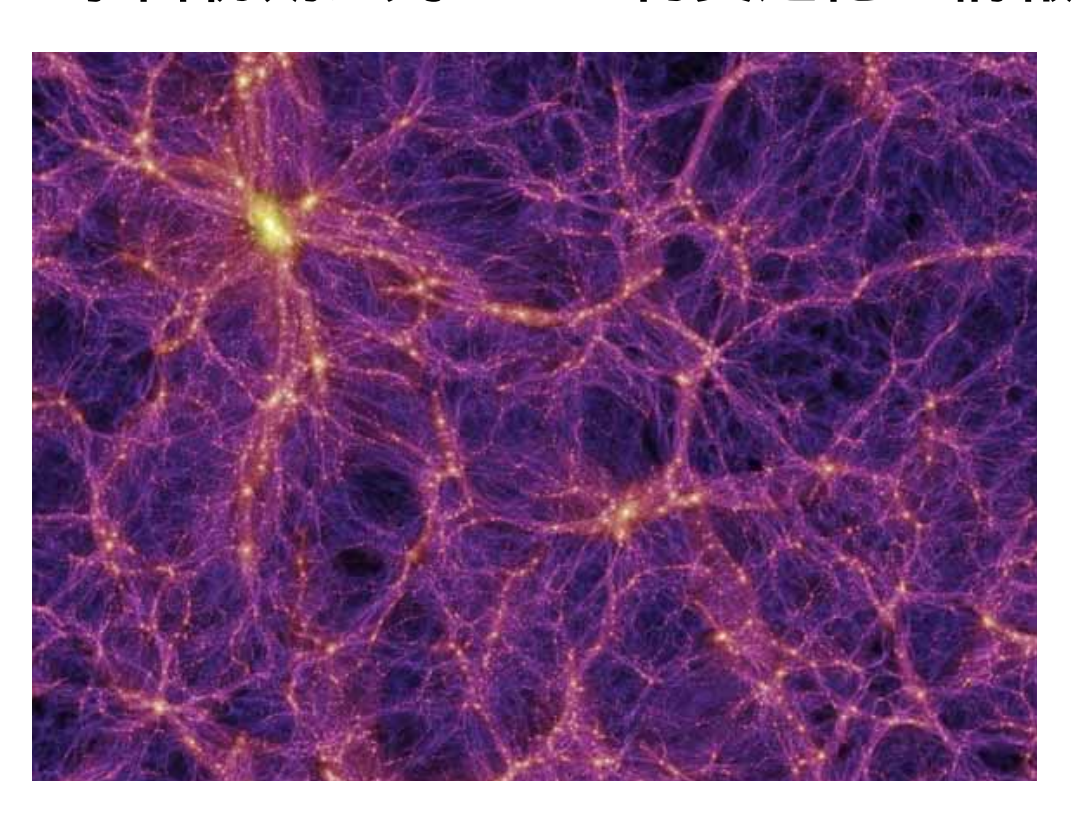
・大規模構造観測の新しい様相

・理論研究における新たな潮流

・非線形重力進化に関する新たな進展

大規模構造と宇宙論

宇宙初期に刻まれた物質進化の情報を、構造形成の観点から探る



・宇宙論パラメーターの決定

CDMモデルに基づく構造形成シナリオの検証

(CDM=Cold Dark Matter)

・ 素粒子物理の探索

宇宙マイクロ波背景放射と組み合わせて様々な情報を引き出す

大規模構造の観測

今や時代は、大規模・精密観測時代:

マイクロ波背景放射 WMAP

大規模構造 Sloan Digital Sky Survey

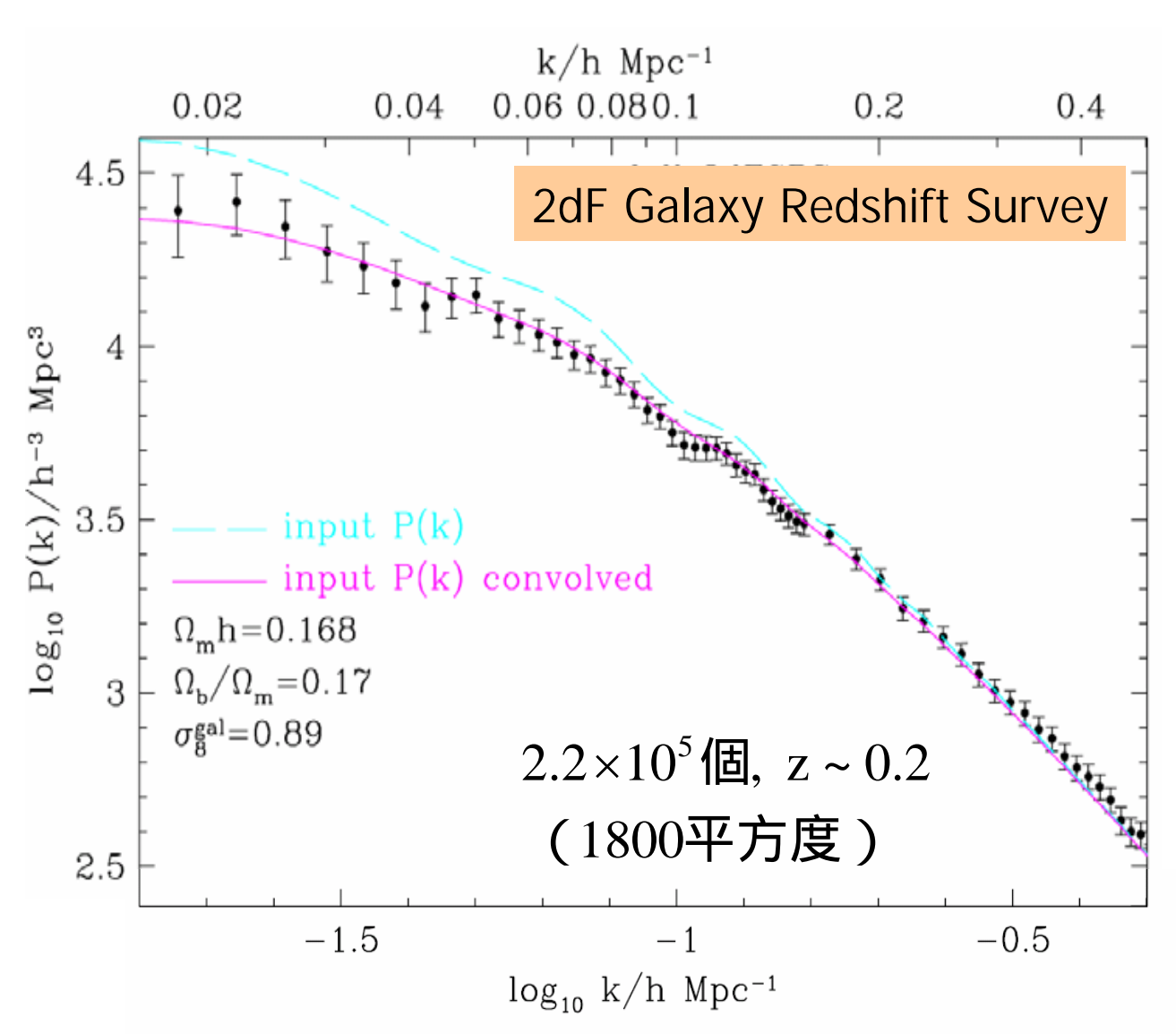
Two-degree Field

•

- パラメーター推定花盛り: joint analysis, combined constraints MCMC, ...
- ・みんな、パラメーター推定法に強くなった
- 微弱なシグナルが検出できるようになった

バリオン音響振動の検出

銀河分布のパワースペクトル



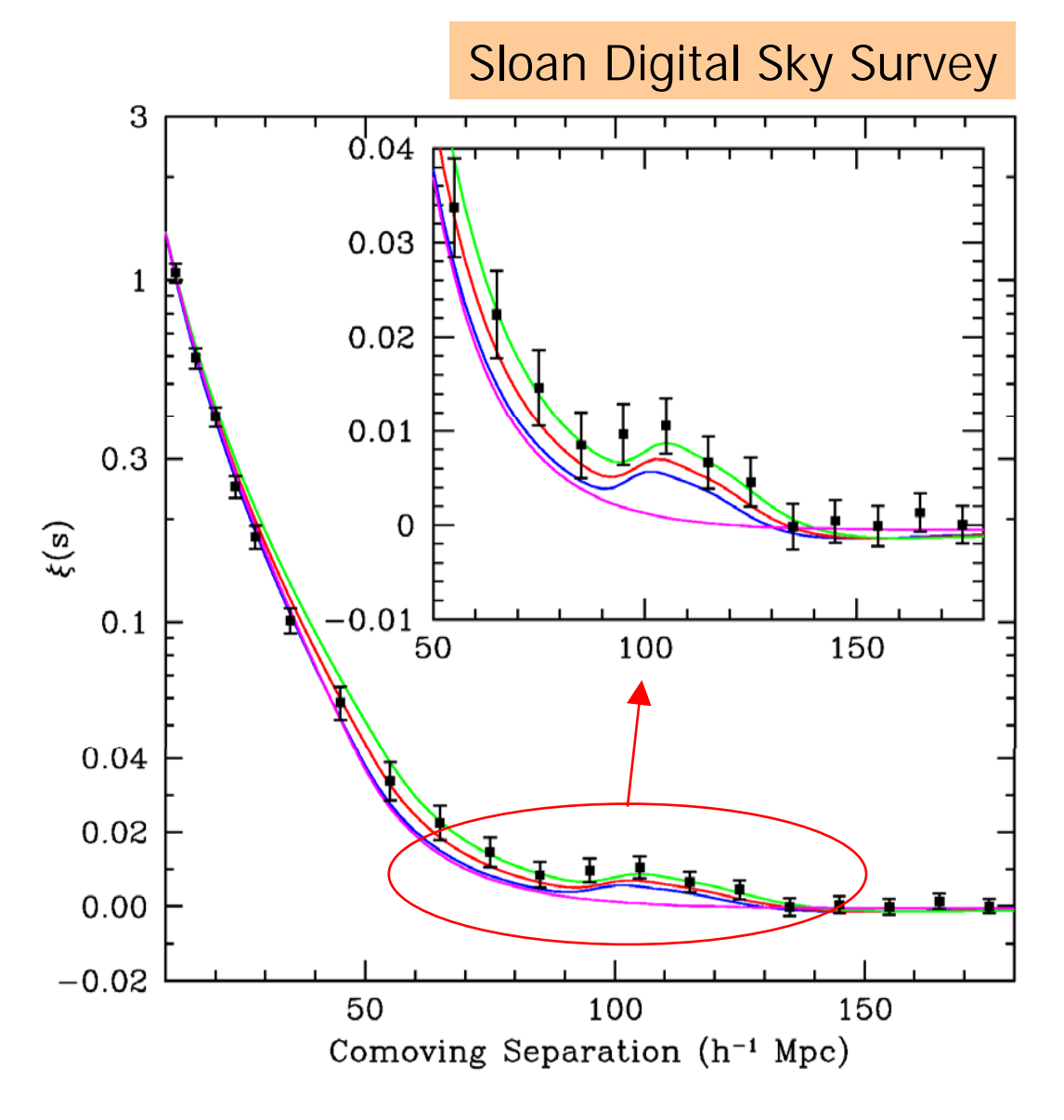
$$P(k) = \frac{1}{(2\pi)^3} \langle |\delta(k)|^2 \rangle$$

$$\delta(\vec{x}) = \frac{\rho(\vec{x}) - \overline{\rho}}{\overline{\rho}}$$

$$= \delta(\vec{k}) e^{i\vec{k} \cdot \vec{x}}$$

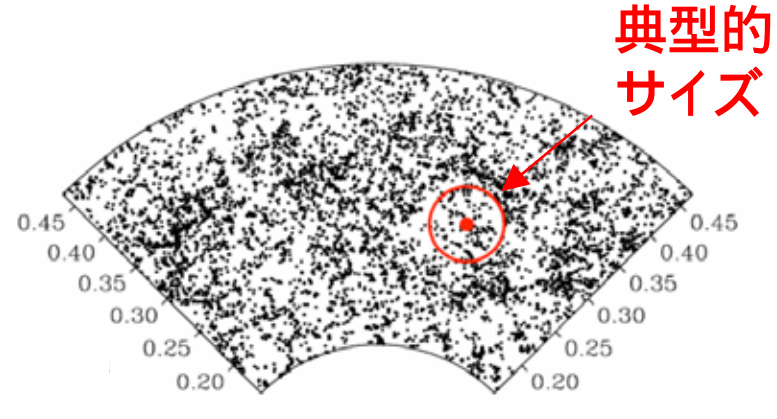
Cole et al. (2005)

銀河分布の2点相関関数



Luminous Red Galaxies (47,000 samples @z~0.3)

$$\xi(s) = \int \frac{dk \, k^2}{2\pi^2} P(k) \frac{\sin(ks)}{ks}$$



Eisenstein et al. (2005)

バリオン音響振動の物理

流体的に音響振動

晴れ上がり前(脱結合):



CDM

重力的に成長

振動の特徴スケール:

音響地平線

$$r_{s} \equiv \int_{z_{\text{dec}}}^{\infty} \frac{dz}{H(z)} c_{s}(z)$$

 $c_s \equiv 1/\sqrt{3\{1+(3/4)(\rho_b/\rho_r)\}}$

(バリオン・光子流体の音速)

脱結合以後:



バリオン *** 輻射(光子)

結合が切れる

CDM _{重力的に成長}

バリオンの密度ゆらぎを 通じて、振動の痕跡が 物質分布に投影

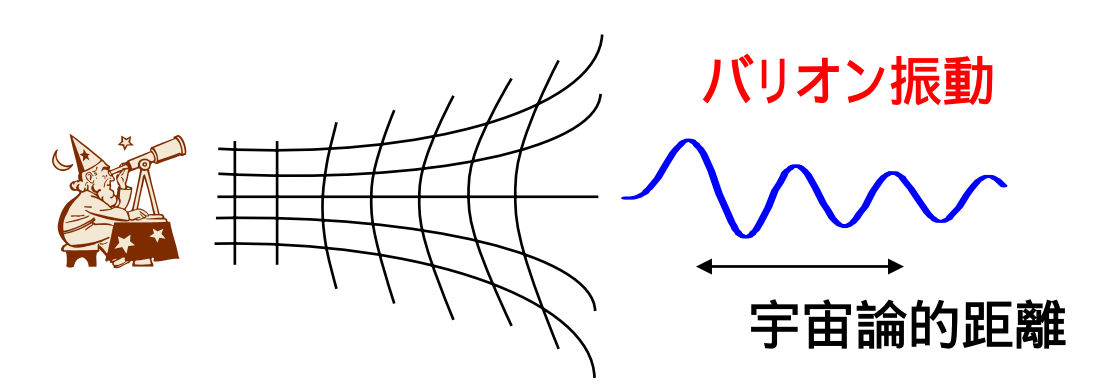
バリオン振動とダークエネルギー

バリオン振動の特徴的スケール:

バリオン・CDMの 密度のみで決まる

$$r_s(\eta_{\text{dec}}) = 147 \left(\frac{\Omega_{\text{m}}h^2}{0.13}\right)^{-0.25} \left(\frac{\Omega_{\text{b}}h^2}{0.024}\right)^{-0.08} \text{Mpc}$$

一方、観測される振動スケール:



バリオン・CDM以外の 宇宙論パラメーターにも依存

振動スケール $\propto \left[D_A^2(z)/H(z)\right]^{1/3}$

バリオン振動を「宇宙標準ものさし」として使うことで ダークエネルギーの状態を探る

将来計画

ダークエネルギーを探るためのさまざまなミッション(装置):

Subaru Hyper Suprime-Cam (Subaru HSC)

Dark Energy Survey (DES)

測光

Panoramic Survey Telescope & Rapid Response System (Pann-STARRS)

Large Synoptic Survey Telescope (LSST)

Supernova Acceleration Probe (SNAP)

分光 Wide Field Multi-Fibre Optical Spectrograph (WFMOS)

:

いずれも、

何種類かの観測を組み合わせて、ダークエネルギーの正体に迫る

理論的課題

観測から振動スケール(距離)を決めるため考慮すべき様々な影響

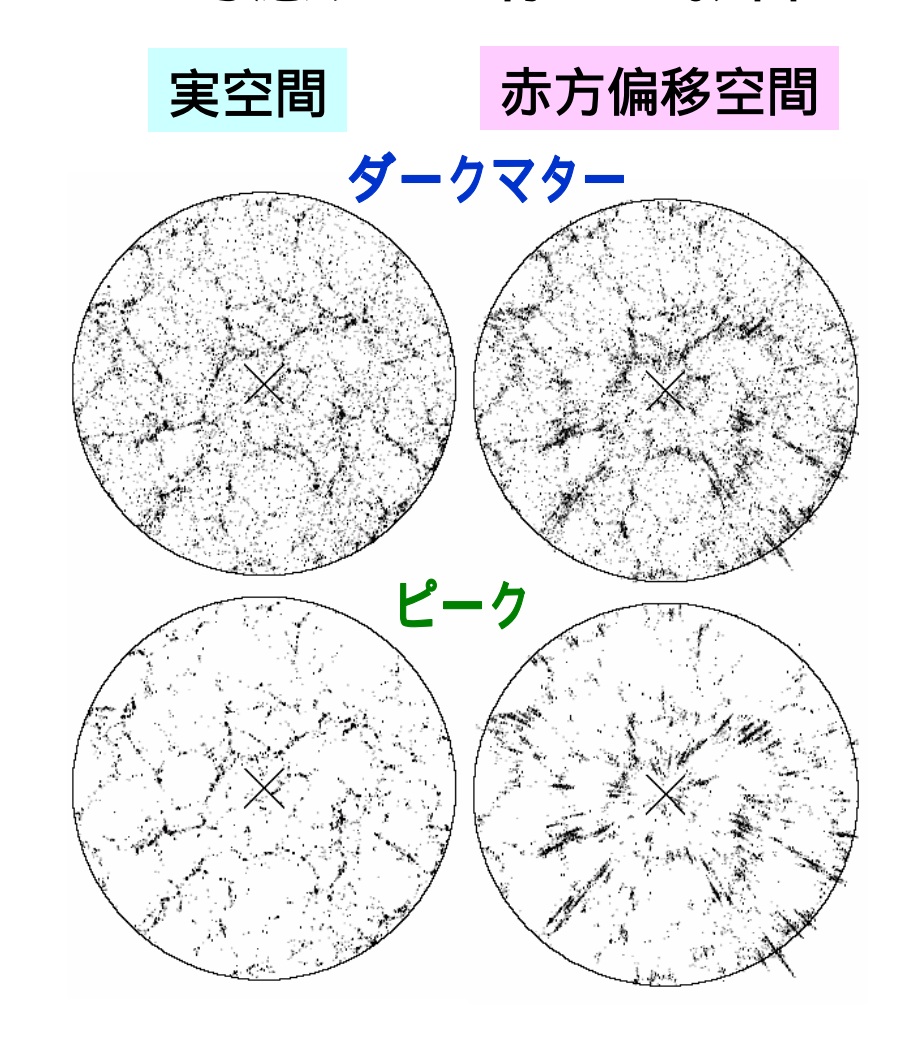
・重力非線形性

・赤方偏移ゆがみ

$$\vec{s} = \vec{r} + \frac{(\hat{r} \cdot \vec{v})}{H(z)} \hat{r}$$
 銀河特異 速度場

・銀河分布のバイアス

$$\delta_{\rm gal}(\vec{r}) = \frac{\delta n_{\rm gal}(\vec{r})}{\overline{n}_{\rm gal}} \iff \delta_{\rm mass}(\vec{r}) = \frac{\delta \rho_{\rm mass}(\vec{r})}{\overline{\rho}_{\rm mass}}$$



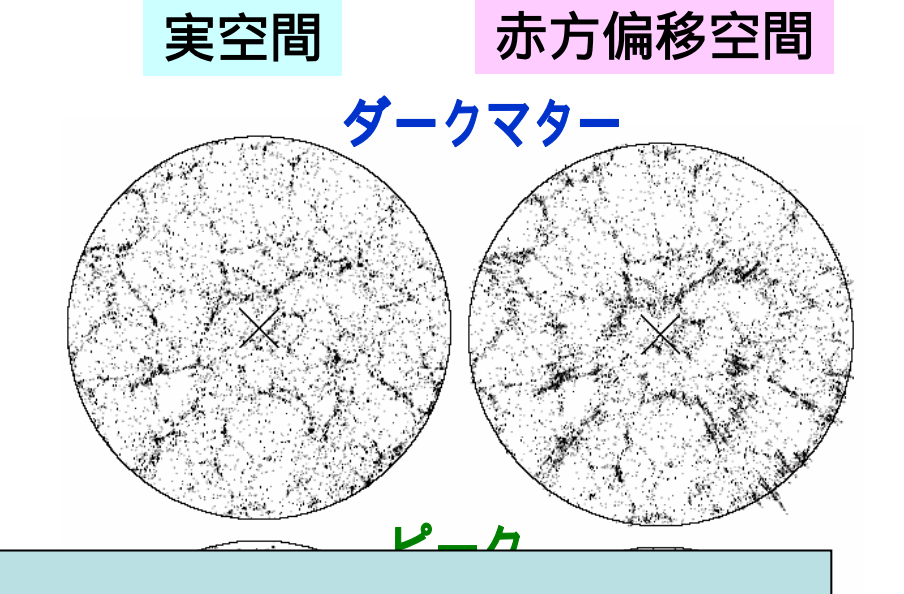
理論的課題

観測から振動スケール(距離)を決めるため考慮すべき様々な影響

• 重力非線形性

・赤方偏移ゆがみ

$$\vec{S} = \vec{r} + \frac{(\hat{r} \cdot \vec{v})}{H(z)} \hat{r}$$
 銀河特異 速度場



最終目標

これら全ての効果を取り込んだ、パーセントレベルの精度をもつP(k)、 $\xi(r)$ などの理論テンプレート作成

(真面目に考えると、きわめてチャレンジングな問題)

パーセントレベルを目指す意義

パーセントレベルと言うとずいぶん細かい話に聞こえるが、精密予言を目指すことで様々な問題に対する解決への道が拓ける

パーセントレベルで初めて見える宇宙論的情報:

原始非ガウス性、ニュートリノの質量、重力理論の変更、etc.

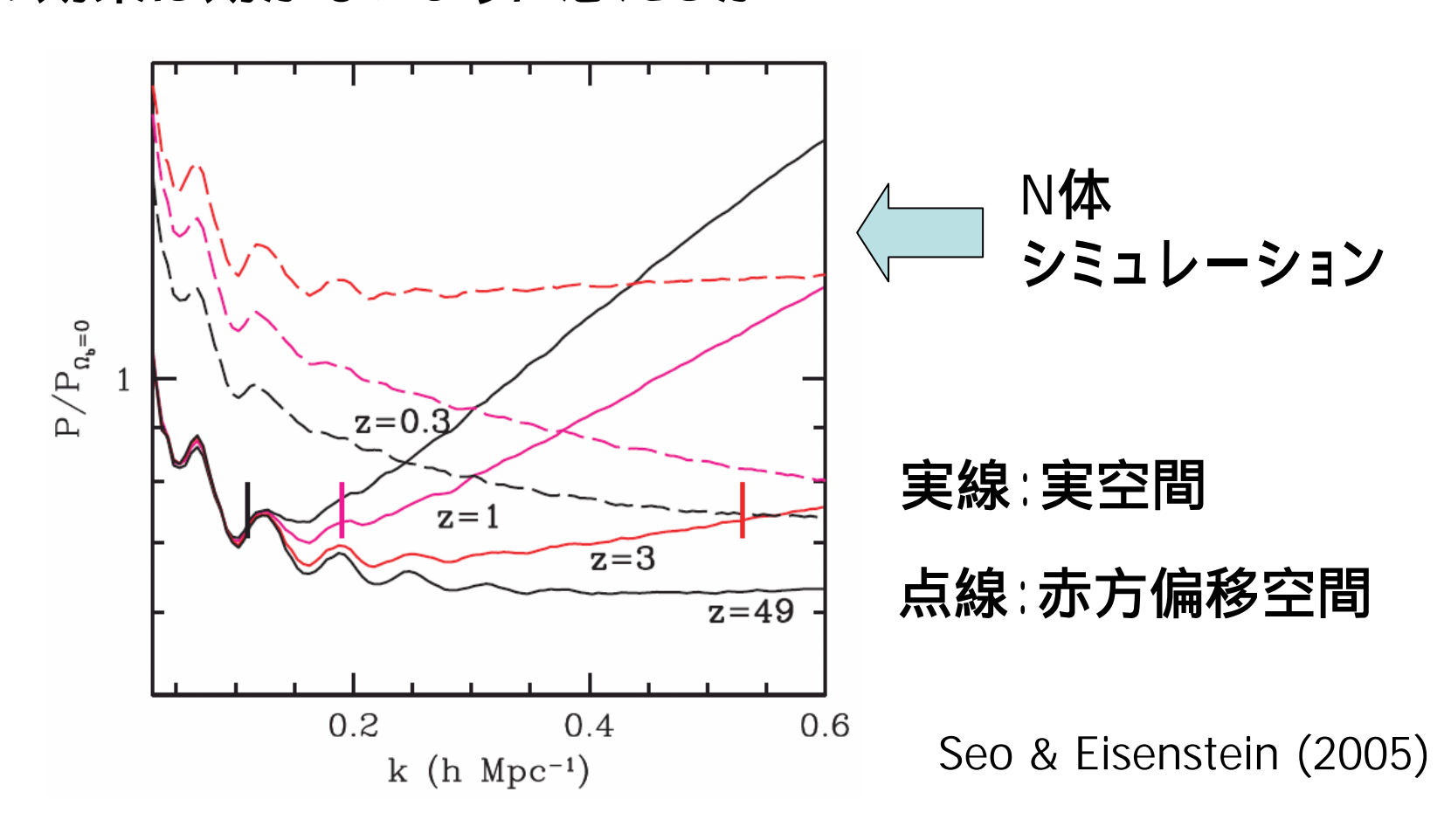
パーセントレベルの要求から深まる物理:

宇宙論的重力多体系の非線形進化、銀河バイアス

以下、非線形重力進化に関する話題に焦点を絞る

バリオン振動の非線形進化

音響振動のスケールは、十分大きいので、重力非線形性の効果は効かないように思えるが...



非線形重力進化の理論的アプローチ

3つの代表的アプローチ

摂動論

(純解析的)

流体近似に基づき、密度ゆらぎを摂動計算

$$\delta = \delta^{(1)} + \delta^{(2)} + \delta^{(3)} + \cdots$$

西道〈んの話

Fitting formulae

(半経験的)

理論的考察に基づき、非線形進化を パラメトライズ、N体計算でキャリブレーション

N体計算

(数値的)

CDM+バリオンを自己重力多体系として扱い、 粒子法を用いて構造の進化を計算

非線形重力進化の理論的アプローチ

ただし、その実情は...

摂動論

(純解析的)

適用範囲がかなり限定されるは

$$\Delta^{2}(k) \equiv \frac{k^{3}P(k)}{2\pi^{2}} \le 0.4$$
 Jeong & Komatsu (2006)

Fitting formulae

(半経験的)

パーセントレベルの予言には使えない 高精度化が必要 (N体計算に依存)

N体計算

(数値的)

コストパフォーマンス 計算結果の信頼性(初期条件·境界条件)

現時点で、%レベルの精度を保証する理論予言はない

最近の進展:第4の解析手法

流体近似の下で、

「場の理論的な手法を用いた「くりこみ」的摂動論」

• Crocce & Scoccimarro (2006ab) PRD73 (2006) 063519, 063520

• Crocce & Scoccimarro (2007) arXiv:0704.2083v1 [astro-ph]

Valageas (2006)
 A&A465 (2007) 725

Matarrese & Pietroni (2007) astro-ph/0702653

• McDonald (2006) PRD75, 043514 (2007)

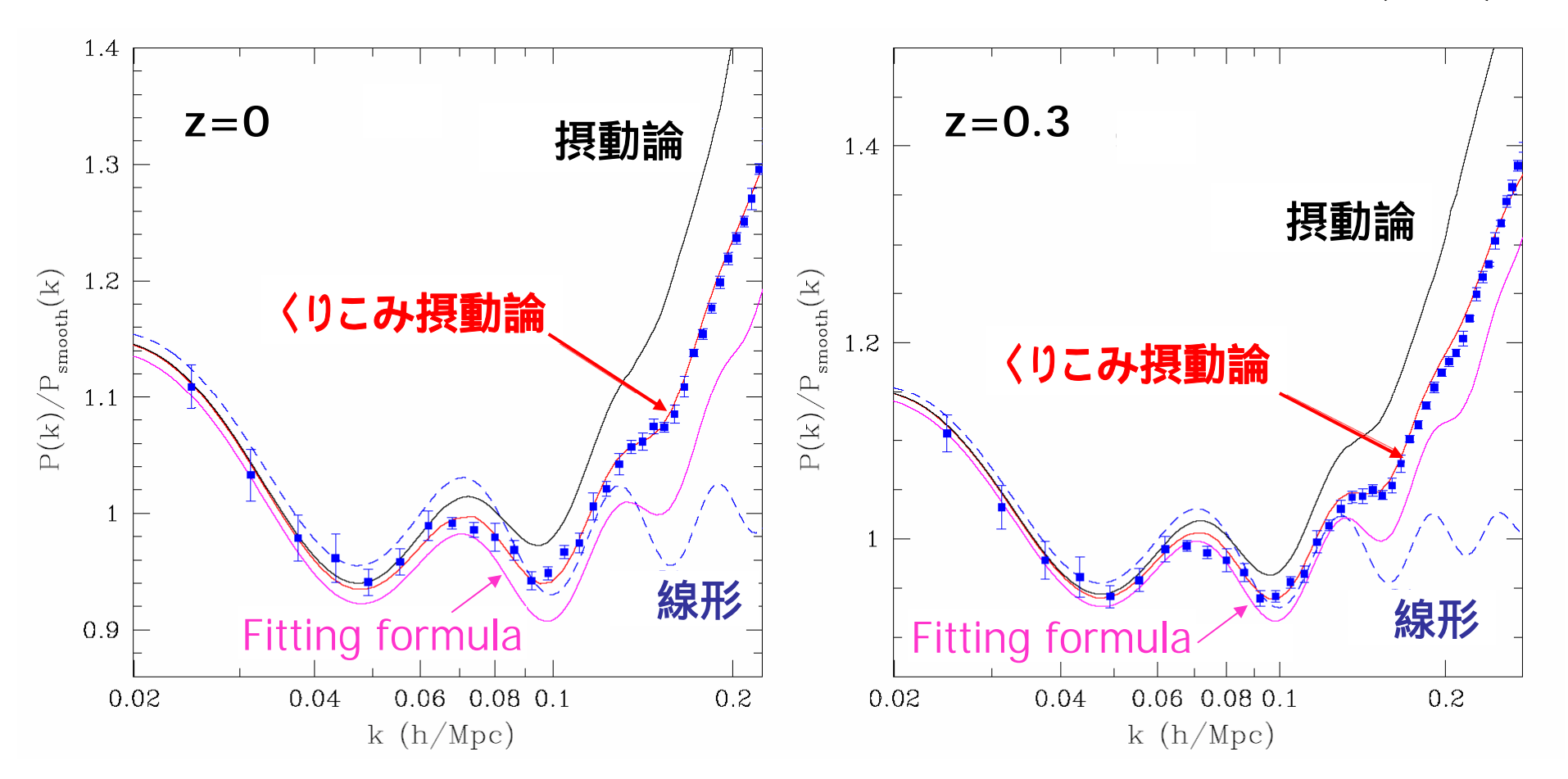


通常の摂動論では扱えない領域まで適用範囲が広がる可能性

N体計算との詳しい比較・検討が進みつつある

N体計算との比較

Crocce & Scoccimarro (2007)



N体計算の精度の範囲内 (~a few %) できわめてよ〈一致

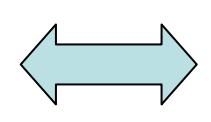
Closure theory for non-linear evolution of matter power spectrum

AT, T. Hiramatsu & K. Yamamoto (2007) in prep.

パワースペクトルの完結近似 (1/2)

流体近似にもとづく、パワースペクトルの非線形重力進化は

バリオン + CDM



渦なし、圧力ゼロの 完全流体

基礎 方程式

- ・連続の式・オイラー方程式
- ・ポアソン方程式

力学変数

$$\delta$$
, $\theta \equiv (\nabla \cdot \vec{\mathbf{v}})/(aH)$

目標「パワースペクトルの時間発展方程式を導き、数値的に解く」

(できれば半解析に)

ところが、

完結性問題

非線形項を通じて、高次の相関量が現れて、

BBGKY階層性)

方程式が閉じなくなる

パワースペクトルの完結近似 (2/2)

完結近似

非線形相互作用の影響を取り込みつつ、 モーメントに対して、閉じた方程式系を得る近似

手順:



1 高次の相関量を、摂動展開をもとに任意のオーダーまで評価、 形式解をもとに最低次の変数で書き表す (formal expansion)



元の方程式を最低次の変数に対する方程式とみなし、閉じた 方程式系を作る (truncation)

乱流の統計理論では、「直接相互作用近似」と呼ばれる手法

(関連性: MSRフォーマリズム、モード結合理論)

パワースペクトルの発展方程式(1/2)

$$\widehat{\boldsymbol{\Sigma}}_{ijkl} P_{kl}(k; \eta) = \int \frac{d^3 \boldsymbol{k}'}{(2\pi)^3} \left[\Gamma_{jpq}(\boldsymbol{k}', -\boldsymbol{k} - \boldsymbol{k}') F_{ipq}(\boldsymbol{k}, \boldsymbol{k}', -\boldsymbol{k} - \boldsymbol{k}'; \eta) + \Gamma_{ipq}(\boldsymbol{k}', \boldsymbol{k} - \boldsymbol{k}') F_{jpq}(-\boldsymbol{k}, \boldsymbol{k}', \boldsymbol{k} - \boldsymbol{k}'; \eta) \right],$$

$$\widehat{\boldsymbol{\Lambda}}_{ik} R_{kj}(k; \eta, \eta') = \int \frac{d^3 \boldsymbol{k'}}{(2\pi)^3} \Gamma_{ipq}(\boldsymbol{k'}, \boldsymbol{k} - \boldsymbol{k'}) K_{jpq}(-\boldsymbol{k}, \boldsymbol{k'}, \boldsymbol{k} - \boldsymbol{k'}; \eta, \eta'),$$

$$\widehat{\boldsymbol{\Lambda}}_{ik} G_{kj}(\boldsymbol{k}|\eta,\eta') = 4 \int_{\eta'}^{\eta} d\eta'' \int \frac{d^3 \boldsymbol{k}'}{(2\pi)^3} \Gamma_{ipq}(\boldsymbol{k}-\boldsymbol{k}',\boldsymbol{k}') \Gamma_{lrs}(\boldsymbol{k}'-\boldsymbol{k},\boldsymbol{k}) \times G_{ql}(\boldsymbol{k}'|\eta,\eta'') R_{pr}(|\boldsymbol{k}-\boldsymbol{k}'|;\eta,\eta'') G_{sj}(\boldsymbol{k}|\eta'',\eta').$$

Operators:

$$\widehat{\Sigma}_{ijkl} \equiv \delta_{ik}\delta_{jl} \frac{\partial}{\partial \eta} + \delta_{ik} M_{jl}(\eta) + \delta_{jl} M_{ik}(\eta), \qquad \widehat{\Lambda}_{ik} \equiv \delta_{ik} \frac{\partial}{\partial \eta} + M_{ik}(\eta).$$

 $P_{ij}(k;\eta)$: 相関スペクトル

基本変数 $\langle R_{ij}(k;\eta,\eta')$: 異時刻の相関スペクトル

(i, j=1,2) $G_{ij}(k \mid \eta, \eta')$: 伝搬関数

添字 1, 2 は、

 δ , θ を表す

 $(\nabla \cdot \vec{\mathbf{v}})/(aH)$

パワースペクトルの発展方程式(2/2)

フーリエ核 $F_{ipq}(k,k_1,k_2;\eta)$, $K_{jpq}(k,k_1,k_2;\eta,\eta')$ の具体的表式:

$$F_{ipq}(\boldsymbol{k}, \boldsymbol{k}_{1}, \boldsymbol{k}_{2}; \eta) = 2 \int_{\eta_{0}}^{\eta} d\eta'' \left[2 G_{ql}(k_{2}|\eta, \eta'') \Gamma_{lrs}(\boldsymbol{k}, \boldsymbol{k}_{1}) R_{ir}(k; \eta, \eta'') R_{ps}(k_{1}; \eta, \eta'') + G_{il}(k|\eta, \eta'') \Gamma_{lrs}(\boldsymbol{k}_{1}, \boldsymbol{k}_{2}) R_{pr}(k_{1}; \eta, \eta'') R_{qs}(k_{2}; \eta, \eta'') \right],$$

$$K_{jpq}(\boldsymbol{k}', \boldsymbol{k}_{1}, \boldsymbol{k}_{2}; \eta, \eta')$$

$$= 4 \int_{\eta_{0}}^{\eta} d\eta'' G_{ql}(k_{2}|\eta, \eta'') \Gamma_{lrs}(\boldsymbol{k}', \boldsymbol{k}_{1}) R_{ps}(k_{1}; \eta, \eta'')$$

$$\times \left\{ R_{jr}(k'; \eta', \eta'') \Theta(\eta' - \eta'') + R_{rj}(k'; \eta'', \eta') \Theta(\eta'' - \eta') \right\}$$

$$+ 2 \int_{\eta_{0}}^{\eta'} d\eta'' G_{jl}(k'|\eta', \eta'') \Gamma_{lrs}(\boldsymbol{k}_{1}, \boldsymbol{k}_{2}) R_{pr}(k_{1}; \eta, \eta'') R_{qs}(k_{2}; \eta, \eta''),$$

逐次展開すると、摂動論の結果がきちんと再現される

解の積分表現((りこみ表現)

一見、複雑な方程式だが、厳密な解の表現が存在するは

$$P_{ij}(k;\eta) = P_{ij}^{(A)}(k;\eta) + P_{ij}^{(B)}(k;\eta)$$
; $(i,j=1,2)$ 添字 i,j,k,l は δ , θ を表す
$$\begin{cases} P_{ij}^{(A)}(k;\eta) = G_{ik}(k\mid\eta,\eta_0)G_{jl}(k\mid\eta,\eta_0)P_{kl}(k;\eta_0) \end{cases}$$
 初期条件
$$P_{ij}^{(B)}(k;\eta) = \int_{\eta_0}^{\eta} ds \int_{\eta_0}^{\eta} dt \ G_{ik}(k\mid\eta,s)G_{jl}(k\mid\eta,t)\Phi_{kl}(k;t,s) \end{cases}$$

伝搬関数 $G_{ij}(k \mid \eta_1, \eta_2)$ と、モード結合を表す関数 $\Phi_{ij}(k;t,s)$ を通じて重力非線形性の効果が取り込まれる

解の積分表現((りこみ表現)

一見、複雑な方程式だが、厳密な解の表現が存在するは

$$P_{ij}(k;\eta) = P_{ij}^{(A)}(k;\eta) + P_{ij}^{(B)}(k;\eta)$$
; $(i,j=1,2)$ 添字 i,j,k,l は δ , θ を表す
$$\begin{cases} P_{ij}^{(A)}(k;\eta) = G_{ik}(k\mid\eta,\eta_0)G_{jl}(k\mid\eta,\eta_0)P_{kl}(k;\eta_0) \end{cases}$$
 初期条件
$$P_{ij}^{(B)}(k;\eta) = \int_{\eta_0}^{\eta} ds \int_{\eta_0}^{\eta} dt \ G_{ik}(k\mid\eta,s)G_{jl}(k\mid\eta,t)\Phi_{kl}(k;t,s) \end{cases}$$

$$\Phi_{ij}(k;t,s) = 2\int \frac{d^{3}\boldsymbol{q}}{(2\pi)^{3}} \Gamma_{irs}(\boldsymbol{q},\boldsymbol{k}-\boldsymbol{q}) \Gamma_{jpq}(\boldsymbol{q},\boldsymbol{k}-\boldsymbol{q})$$

$$\times \left\{ R_{pr}(q;\eta,s) \Theta(\eta-s) + R_{rp}(q;s,\eta) \Theta(s-\eta) \right\}$$

$$\times \left\{ R_{qs}(|\boldsymbol{k}-\boldsymbol{q}|;\eta,s) \Theta(\eta-s) + R_{sq}(|\boldsymbol{k}-\boldsymbol{q}|;s,\eta) \Theta(s-\eta) \right\}$$

解の積分表現(くりこみ表現)

一見、複雑な方程式だが、厳密な解の表現が存在するは

$$P_{i,j}(k;\eta) = P_{ij}^{(A)}(k;\eta) + P_{ij}^{(B)}(k;\eta)$$
; $(i,j=1,2)$ 添字 i,j,k,l は δ , θ を表す

- 場の理論的な手法による「くりこみ」的摂動論と基本的に等価 (ここで与えた表式は、1-loop levelに対応)
- ・ 展開次数を上げた完結近似から、高次のモード結合を系統的 に拾い出すことも可能

展開の収束性、非線形性の取り込み方が通常の摂動論と大きく異なる

N体計算との比較については現在解析中 (すいません ^ ^;) ▶

まとめ

パーセントレベルで浮び上がる新たな物理と理論予言の精密化

重力非線形進化に対する摂動論を越えた取り扱い:

N体計算の信頼性チェック・高精度化の必要性

N体計算とは独立な解析手法の開発

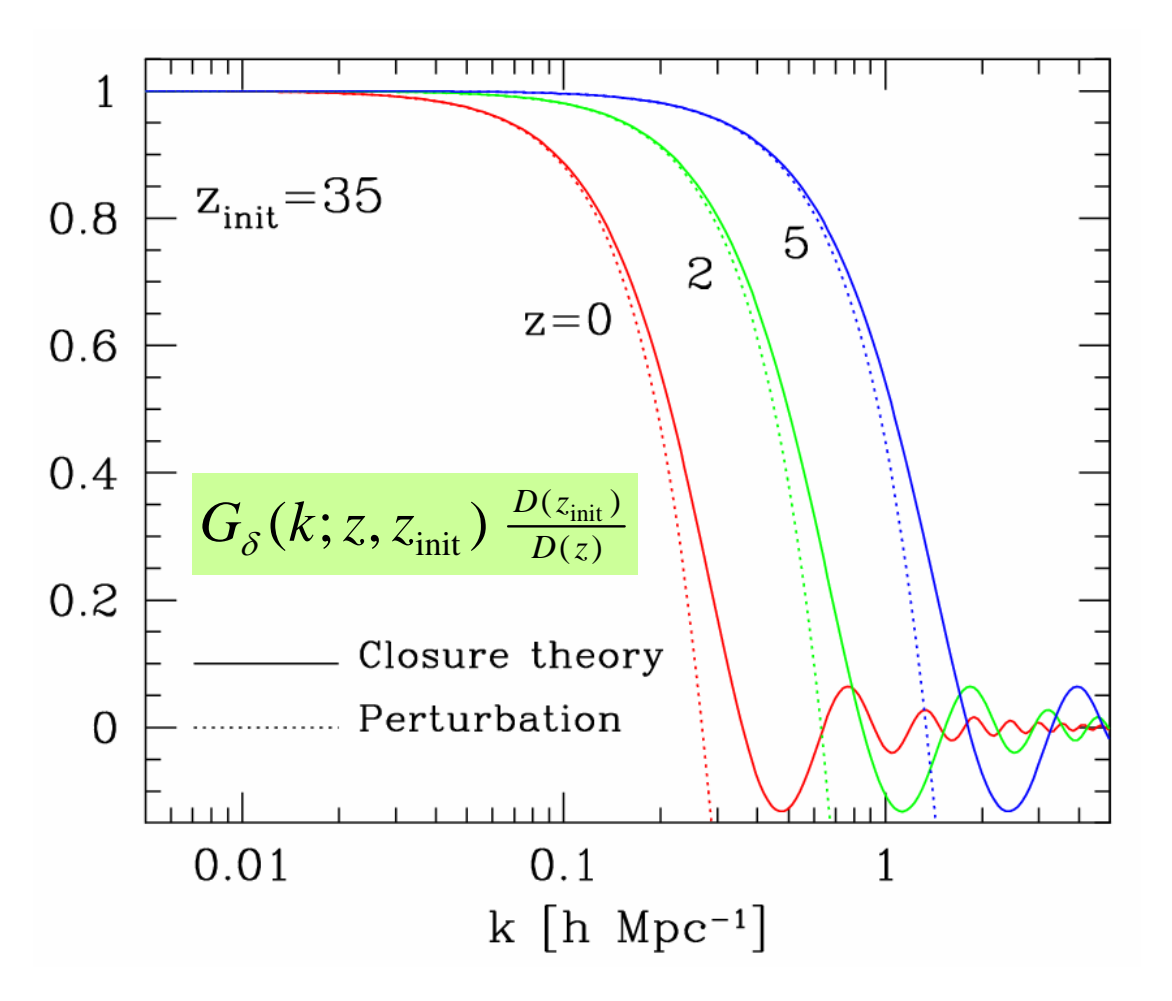
くりこみ的摂動 パワースペクトルの完結近似 数値計算などを含めた解析評価

重力非線形進化の精密な理論予言は、精密宇宙論の要 複数のアプローチから、信頼できる理論予言を構築

Appendix

伝搬関数のふるまい

High-k 極限の漸近解と、摂動解をつなぐ近似解を構成できる



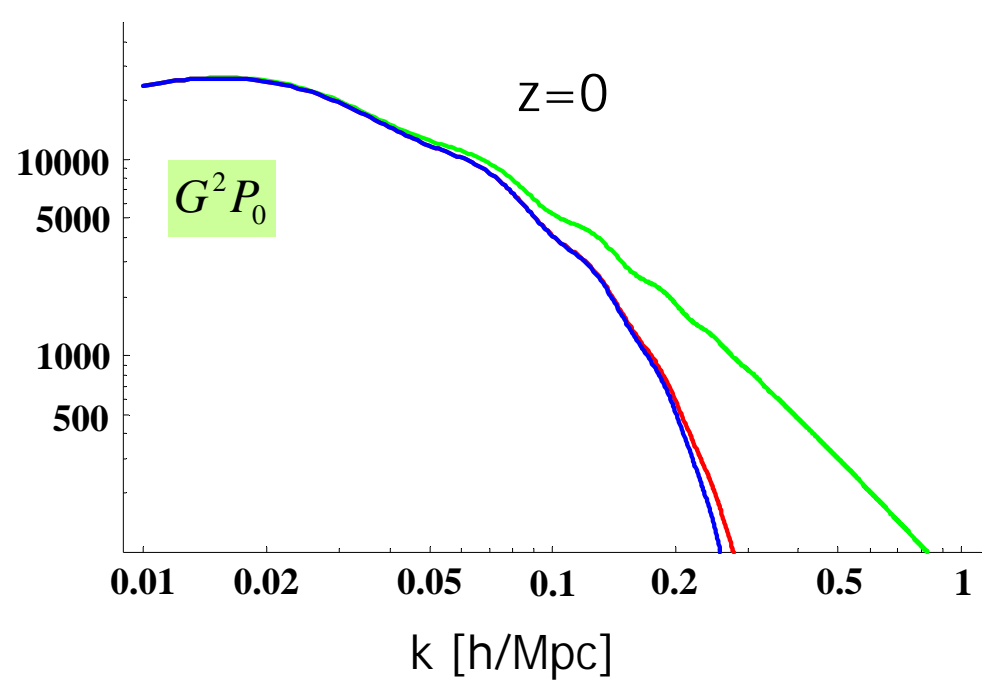
$$G_{\delta}(k; z_1, z_2)$$

$$\equiv G_{11}(k; z_1, z_2) + G_{12}(k; z_1, z_2)$$

小スケール(high-k)で 減衰振動する

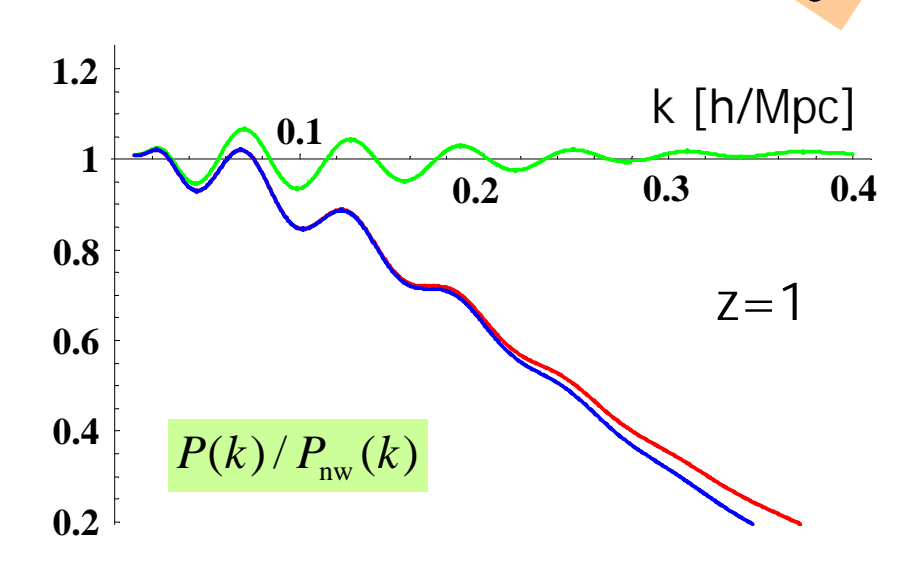
(摂動解は、high-k で、負に発散)

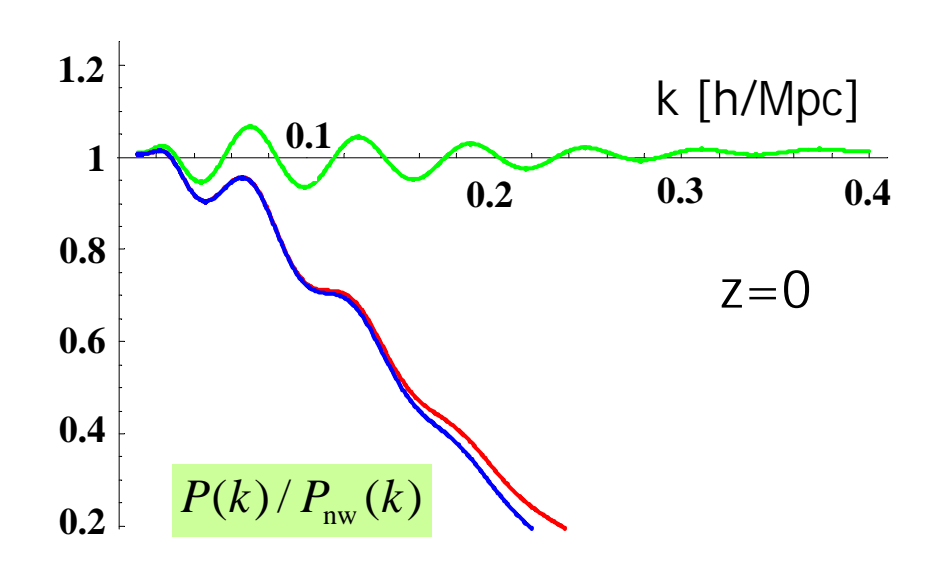
BAOs from Closure Theory





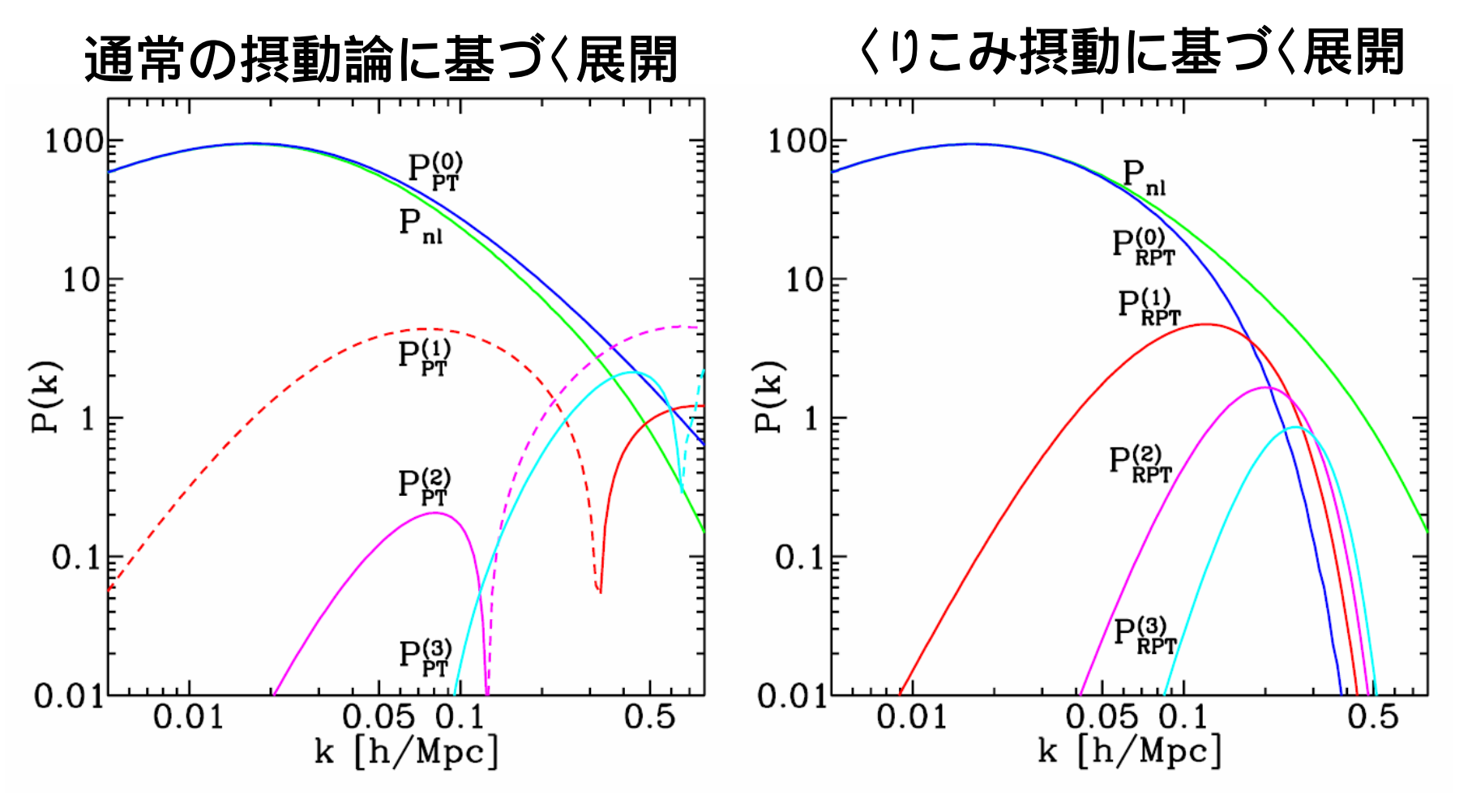
—— linear —— RPT —— Closure theory





「くりこみ」展開による収束性の向上





Crocce & Scoccimarro (2006a)